



مقیاس بندی، مدل سازی و کنترل ترافیک یک شبکه ریلی بین شهری واقعی

با استفاده از جبر بیشینه جمع و کنترل کننده پیش‌بین

بیژن معاونی^۱، مهرشاد شفاعتی^۲

^۱ دانشیار دانشکده مهندسی برق، دانشگاه صنعتی خواجه نصیر الدین طوسی، b.moaveni@kntu.ac.ir

^۲ دانش آموخته دانشکده مهندسی راه آهن، دانشگاه علم و صنعت ایران

پذیرش: ۱۳۹۷/۰۹/۰۲

ویرایش: ۱۳۹۷/۰۸/۰۴

دریافت: ۱۳۹۶/۰۹/۳۰

چکیده: بازیابی تأخیر زمانی می‌تواند کارایی شبکه ریلی را بالا برده و جذابیت استفاده از حمل و نقل ریلی را در مقابل سایر صورت‌های حمل و نقل افزایش دهد. این مقاله به ارائه یک مدل دینامیکی جدیدی از سیستم راه آهن بین شهری می‌پردازد. مدل ارائه شده، یک سیستم گسسته پیشامد است که بر اساس انحراف از مدت زمان سفر و انحراف از زمان توقف قطارها تعریف می‌گردد. با توجه به وجود ایستگاه‌های فرعی متعدد در طول مسیر و امکان حل مسئله کنترل در زمان قابل قبول، از مقیاس بندی شبکه ریلی واقعی جمهوری اسلامی ایران به یک شبکه کوچک‌تر بدون از دست دادن صحت و کلیت مسئله استفاده شده است. از جبر بیشینه جمع به منظور مدل سازی دینامیک ترافیک در طول مسیر و از کنترل کننده پیش‌بین به منظور کنترل ترافیک استفاده شده است. هدف از طراحی سیستم کنترل، کاهش تأخیر زمانی حرکت قطارها در طول مسیر و از بین بردن آن با استفاده از کاهش زمان سفر قطارها در فاصله مابین ایستگاه‌ها و تغییر در بازه زمانی ملاقات یا عدم ملاقات قطارهای برنامه‌ریزی شده در ایستگاه‌های رابط است. در بخش پایانی مقاله، نتایج شیوه‌سازی به منظور نمایش صحت عملکرد مدل پیشنهادی و همچنین عملکرد موفق سیستم کنترل پیش‌بین ارائه شده است. یادآور می‌گردد که در این مطالعه، مدل سازی و شیوه‌سازی بر اساس اطلاعات واقعی ترافیک در خطوط اصلی راه آهن جمهوری اسلامی ایران انجام پذیرفته است.

کلمات کلیدی: مدل سازی دینامیکی ترافیک ریلی، جبر بیشینه جمع، کنترل پیش‌بین، بازیابی تأخیر زمانی.

Scaling, Modeling and Traffic Control of a Real Railway Network using Max-plus Algebra and Model Predictive Control

Bijan Moaveni, Mehrshad Shafaati

Abstract: Delay time recovery can increase the efficiency of the railway network and increase the attractiveness of railway transport against other transportation systems. This article presents a new dynamical model of railway system. The proposed model is a discrete event systems that is defined based on the deviation of travel time and deviation of stop time of trains. Due to the existence of multiple substations along the path and the possibility of solving the control problem at an acceptable time, the realization of the real railway network of the Islamic Republic of Iran into a smaller network has been used without losing the integrity of the issue. The Max-Plus is used to model the dynamics of traffic along the route and Model Predictive Control is used to control the traffic. The goals of the control system are reduction of time delay along the route and eliminate it by reducing the train travel time between stations and change in meeting or not meeting time scheduled trains in the interface stations. In the final section of the paper, simulation results are presented to show the validity of the proposed model as well as the successful performance of the MPC system. It should be noted that in this study, modeling and simulations have been done based on actual traffic information in the main lines of the Islamic Republic of Iran Railways.

Keywords: Dynamic Modeling of Railway Traffic, Max-Plus Algebra, Model Predictive Control, Time Delay Recovery.

انجام شده است که از مقالات مربوط به این حوزه می‌توان به چند نمونه

۱- مقدمه

مهم‌زیر اشاره کرد:

در [۲] یک مدل ترافیکی از حرکت متناوب قطارها در یک شبکه ریلی و کنترل کننده پیش‌بین برای مدیریت ترافیکی آنالین جدول زمان‌بندی معرفی می‌شود. هدف اصلی کنترل کننده بازیابی تأخیرها به یک روش بهینه با تغییر زمان اعزام قطارها، عدم ملاقات قطارها و در یک مورد خاص اگر خطوط چندگانه بین ایستگاه‌ها وجود داشته باشد، با توزیع قطارها در خطوط دیگر با استفاده از مدل بیشینه جمع خطی هست. در [۳] یک مدل گسته پیشامد برای خطوط مترو ارائه شده است که شامل زمان اعزام حرکت قطارها، مدت زمان توقف در هر ایستگاه و بیان تأثیر حجم مسافران موجود در ایستگاه بر روی زمان توقف هست. این تحقیق که از اولین تحقیقات در بحث مدل‌سازی و کنترل زمان اعزام است با اشاره به ناپایداری ذاتی در سیستم‌های ترافیک ریلی به مدل‌سازی دینامیک زمان اعزام، ارائه کنترل بلادرنگ به منظور تنظیم ترافیک و بازیابی تأخیر زمانی پرداخته است. در این مقاله از تنظیم کننده مربعی خطی^۱ به منظور تنظیم ترافیک و بازیابی تأخیر استفاده شده است. در [۴] از مدل‌سازی مبتنی بر جبر بیشینه جمع و از کنترل کننده پیش‌بین مبتنی بر مدل^۲، به منظور بازیابی تأخیر یک سیستم ریلی استفاده شده است که در آن جهت حداقل کردن یک تابع هدف می‌توان از حضور هم‌زمانی حرکت قطارها در ایستگاه‌های دارای چند سکو صرف نظر نمود. در [۵] با استفاده از سیستم بیشینه جمع هدف بازیابی تأخیر در حضور هم‌زمانی حرکت قطارها کاملاً برآورده گردید. این الگوریتم در زمان اتفاق افتادن یک تداخل، با استفاده از یک تابع هزینه، جستجوی اولیه‌ای انجام می‌دهد تا مشخص گردد کدام قطارها اولویت بیشتری جهت حرکت دارند. در [۶] و [۷] باهدف بازیابی تأخیر با تغییر زمان اعزام حرکت قطارها، به مدل‌سازی سیستم ترافیکی می‌پردازد. به این منظور مدلی گسته پیشامد با روش سویچینگ بیشینه جمع ارائه می‌کند و با به کارگیری کنترل کننده پیش‌بین مبتنی بر مدل به بازیابی تأخیر می‌پردازد. در [۸] و [۹] یک الگوریتم برای محاسبه تأخیرهای اباشده شده در جدول زمانی یک شبکه ریلی معرفی می‌شود. سیستم ریلی با سیستم‌های خطی بیشینه جمع برای اباشتگی تأخیرها مدل‌سازی می‌شود. انواع مختلف تأخیرها و رفتار آنها موردنبحث قرار می‌گیرد، که شامل تأخیرهای اولیه و ثانویه، تأخیرهای ساختاری، تأخیرهای تناوبی و تأخیرهای افجاری هست. در [۱۰] هدف اصلی بازیابی تأخیرها به بهترین روش با عدم ملاقات قطارها، تغییر آرایش قطارها و یا افزایش سرعت قطارها هست. کنترل بهینه برای بازیابی تأخیر در شبکه ریلی معرفی می‌شود و نشان داده می‌شود که مسئله با جبر بیشینه جمع و یا الگوریتم ژنتیک حل می‌شود.

⁶ Max - Plus

⁷ Petri Net

⁸ Cellular Automata

⁹ Linear Quadratic Regulator (LQR)

¹⁰ Model Predictive Control (MPC)

حمل و نقل ریلی به دلایل مختلف از جمله سازگاری با محیط‌زیست، کاهش مصرف سوخت‌های فسیلی، سرعت قابل قبول در انتقال بار و مسافر و... از اهمیت بیشتری در مقابل سایر صورت‌های حمل و نقل برخوردار است. کاهش سرفاصله زمانی^۱، افزایش ظرفیت حمل بار و مسافر در شبکه ریلی، پیروی هر چه بیشتر از جداول زمانی^۲ و بهبود اینمی را می‌توان به عنوان اهداف کنترل اتوماتیک ترافیک^۳ ریلی نام برد. خطوط راه‌آهن همواره در معرض اختشاشات ناخواسته از جمله زمان توقف^۴ بیش از حد در ایستگاه‌ها، مشکلات فنی و... قرار می‌گیرند که عملکرد حرکتی قطارها را در سیستم ترافیک ریلی از جدول زمان‌بندی اولیه طراحی شده دور نموده و موجب کاهش محبوبیت حمل و نقل ریلی از دیدگاه مسافران و همچنین تحملی هزینه‌های مختلف به سیستم ریلی می‌گردد. در خطوط راه‌آهن سراسری که مسافران از قبل بلیت تهیه کرده‌اند و زمان حرکت آن‌ها مشخص است، هنگام به وجود آمدن تأخیر قطارها نمی‌توانند از ایستگاه‌هایی که بلیت آن‌ها به عنوان مبدأ یا مقصد فوخته شده است بدون توقف عبور نمایند و می‌باشد در تمامی ایستگاه‌های ایستگاه هنگام بروز تأخیر برای بازیابی آن از اقداماتی نظیر عدم ملاقات قطارهای برنامه‌ریزی شده در ایستگاه رابط و یا کاهش زمان سفر قطار در طول مسیر از طریق افزایش سرعت در طول مسیر حرکت بهره می‌برند. در حالی که در خطوط مترو، اگر تأخیر از حد مشخصی بیشتر باشد و حجم مسافران منتظر بر روی سکو در تعدادی از ایستگاه‌ها بیش از حد مجاز باشد آنگاه قطارها می‌توانند برای بازیابی تأخیر از تعدادی ایستگاه‌ها بدون توقف عبور نمایند تا بتوانند هر چه سریع تر به ایستگاه‌های شلوغ اعزام شده و مسافران مجتمع بر روی سکو را منتقل نمایند که این عملیات سبب عدم مطابقت با جدول زمان‌بندی شده و نارضایتی مسافران را به همراه دارد. می‌توان متذکر شد که معمولاً مدت زمان تأخیر در خطوط مترو در حد چند دقيقه و بیشتر است. باید متذکر شد که یکی از اهداف مهم در سیستم‌های حمل و نقل ریلی در بخش انتقال مسافران، افزایش آسایش مسافران و جلب رضایت آن‌ها هست [۱]. به طور کلی استراتژی‌های متعددی برای مدل‌سازی و کنترل ترافیک وجود دارد که می‌توان تنظیم ترافیک^۵، جبر بیشینه جمع^۶، پتری نت^۷ و اتوماتای سلولی^۸ را به عنوان مهم‌ترین روش‌های آن نام برد [۲] و [۳]. در دهه‌های اخیر تحقیقات زیادی در زمینه‌ی بازیابی جدول زمان‌بندی

¹ Time Headway

² Timetable

³ Automatic Traffic Control

⁴ Dwel Time

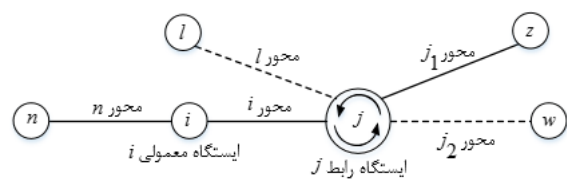
⁵ Traffic Regulation

موجود در مقاله از جدول زمان‌بندی مربوط به فصل پاییز سال ۱۳۹۵ از شرکت راه آهن جمهوری اسلامی ایران استخراج شده است.

مطالب این مقاله بدین صورت تنظیم شده است که در بخش دوم عالم و اصطلاحات موردنیاز جهت درک بهتر مفاهیم ارائه شده در مقاله، معرفی می‌گردد. در بخش سوم مقاله، به مدل‌سازی دینامیک زمان اعزام قطارها در خطوط راه آهن سراسری می‌پردازد. در بخش چهارم به طراحی کنترل کننده پیش‌بین مبتنی بر مدل برای سیستم ترافیکی وتابع هزینه‌ای به منظور بهینه‌سازی و بازیابی تأخیر خواهیم پرداخت. بخش پنجم به مقیاس بندی خطوط ریلی در راه آهن سراسری خواهد پرداخت. در بخش آخر، نتایج شیوه‌سازی به منظور نمایش عملکرد سیستم ترافیکی در چهار استراتژی بدون حضور کنترل کننده، تأثیر کنترل کننده با روش کاهش زمان سفر، تأثیر کنترل کننده با روش تغییر در بازه زمانی ملاقات یا عدم ملاقات قطارهای برنامه‌ریزی شده در ایستگاه رابط و تأثیر کنترل کننده با استفاده از ترکیب هر دو روش کاهش زمان سفر و تغییر در بازه زمانی ملاقات یا عدم ملاقات قطارهای برنامه‌ریزی شده در ایستگاه رابط ارائه می‌شود.

۲- معرفی عالم و اصلاحات

در این بخش به منظور توصیف مدل‌سازی خطوط راه آهن به ارائه تعاریفی پرداخته می‌شود. سیستم ترافیکی به صورت یک خط باز^{۱۳} در نظر گرفته می‌شود که تعدادی قطار در آن در حال حرکت هستند به طوری که قطارها از یک مبدأ وارد مسیری که ابتدا و انتهای آن باز است می‌شوند. لازم به ذکر است که شبکه ریلی مورد مطالعه در این تحقیق، ساختار کلی به صورت شکل ۱ دارد.



شکل ۱: نمونه‌ای از شبکه ریلی که امکان جابجایی مسافر در ایستگاه رابط j را نشان می‌دهد.

محور ۱۴: خط مابین دو ایستگاه متواالی محور نامیده می‌شود که در شکل ۱ معرفی شده است.

مسیر ۱۵: به مجموعه‌ای از محورهای متواالی مسیر می‌گویند که هر مسیر دارای مبدأ و مقصد منحصر به فرد است. در شکل ۱ مسیرهای متفاوتی وجود دارد که از بین آنها می‌توان به $j - z - j$ و $n - i - j - w$ اشاره کرد.

ایستگاه اصلی^{۱۶}: ایستگاه‌های پر جمعیت مسافری یا باری که شامل تعداد زیادی از مناطق مسکونی یا مکان‌های صنعتی هست که به دو نوع ایستگاه

از جمله پژوهش‌های که در داخل کشور در ارتباط با مسئله کنترل ترافیک ریلی انجام شده است می‌توان به موارد زیر اشاره کرد:
در [۱۱] مدل گسسته-پیشامدی با در نظر گرفتن تأثیر تعداد مسافران موجود در هر سکو تعداد مسافران موجود در هر قطار برای مدل نمودن زمان‌بندی حرکت قطارها ارائه و نقش مسافران در زمان‌های اعزام سیستم ترافیک ریلی به طور کامل در نظر گرفته شده است. تابع هزینه‌ای بر اساس سه نوع نارضایتی مسافران از سرویس‌های سیستم حمل و نقل مترو، پیشنهاد داده شده است. با استفاده از کنترل کننده پیش‌بین، یک قانون کنترلی به دست آمده و تحلیل پایداری سیستم حلقه بسته نیز موربدرسی قرار گرفته است. در [۱۲] مدل ارائه شده برای توصیف دینامیک ترافیک خطوط مترو، یک نمایش گسسته پیشامد غیرخطی است که بر اساس انحراف از زمان اعزام قطارها در یک مسیر رفت و برگشتی بیان گردیده و برخلاف مدل‌های پیشین پدیده انتقال ضربه‌ای تأخیر نیز باهدف نمایش واقعی از نحوه عملکرد حرکت قطارها در آن لحظه گشته است. برای بازیابی تأخیر از کنترل کننده پیش‌بین غیرخطی استفاده شده و تابع هزینه‌ای نیز بر مبنای کاهش تأخیر زمان اعزام قطارها و همچنین افزایش رضایت مسافران لحظه گشته است. همچنین باهدف ایجاد امکان پیدا شدن کنترل کننده زمانی اعزام قطارها در فرایند طراحی کنترل کننده لحظه گشته است.

در این مقاله، مسئله مدل‌سازی دینامیک ترافیک در مورد سه مسیر قزوین - مشهد، ساری - گرمسار و کاشان - تهران از خطوط راه آهن جمهوری اسلامی ایران مدنظر قرار گرفته است که در هر یک از مسیرهای فوق یک قطار سیر می‌کند. قابل توجه است که تاکنون مدل‌های ارائه شده در مراجع مرتبط با حوزه کنترل ترافیک ریلی با استفاده از استراتژی پیشینه جمع، مدل‌های ساده‌ای از حرکت قطارها را مدنظر قرار داده‌اند و مدل واقعی از مسیر حرکت مدنظر نبوده است که در این مقاله از یک شبکه واقعی ریلی استفاده شده است. در روند مدل‌سازی ترافیک در مسیرهای ذکر شده ایستگاه‌های اصلی و فرعی متعددی وجود دارد که مسئله مدل‌سازی و سپس محاسبات کنترل را با مشکل جدی مواجه می‌نماید. لذا در مسئله مدل‌سازی، مقیاس بندی مسیر واقعی به منظور ساده‌تر شدن مسئله مدل‌سازی و محاسبه سیگنال کنترل، ضمن جلوگیری از غیرواقعی شدن مدل یک مسئله مهم است. از جبر بیشینه جمع به منظور مدل‌سازی دینامیک ترافیک در طول مسیر و از کنترل کننده با تولید سیگنال کنترلی جهت تغییر در استفاده شده است. این کنترل کننده با تولید سیگنال کنترلی جهت تغییر در بازه زمانی ملاقات یا عدم ملاقات قطارهای برنامه‌ریزی شده در ایستگاه‌های رابط و کاهش زمان سفر بین دو ایستگاه متواالی به بازیابی تأخیر می‌پردازد. همچنین باهدف ایجاد امکان پیدا شدن کنترل کننده زمانی اعزام قطارها در فرایند طراحی کنترل کننده لحظه شده است. لازم به ذکر است که تمامی اطلاعات زمانی

¹³ Route

¹⁴ Main Station

¹¹ Open line

¹² Track

است که روی محور j قرار دارد و منظور از ایستگاه j ایستگاه مبدأ محور j هست.

جدول ۱: معرفی علامت

تعاریف	علامت
زمان ازمام واقعی قطار j از ایستگاه j	d_j
زمان ازمام نامی قطار j از ایستگاه j	D_j
زمان تعیین کننده ملاقات یا عدم ملاقات قطارهای l و j در ایستگاه رابط j	$t_{l,j}$
حداکثر هزینه مربوط به عدم ملاقات قطارهای l و j در ایستگاه رابط j	$C_{l,j}$
تابع هزینه ملاقات یا عدم ملاقات قطارهای l و j در ایستگاه رابط j	$M_{l,j}$
متغیر کنترلی تعیین ملاقات یا عدم ملاقات قطارهای l و j در ایستگاه رابط j	$U_{l,j}$
هزینه مربوط به کاهش زمان سفر قطار i	C_i
تابع هزینه کاهش زمان سفر قطار i	T_i
متغیر کنترلی تغییر زمان سفر در محور i	V_i
هزینه مربوط به انحراف از زمان ازمام قطار i	C^i
تابع هزینه انحراف از زمان ازمام قطار i	F^i
زمان سفر نامی محور i ام	R_i
حداقل زمان سفر محور i ام	r_i^{\min}
زمان توقف نامی قطار i در ایستگاه j	S_i^j
زمان جابجایی نامی مسافران قطارهای l و j در ایستگاه رابط j	M_l^j
متغیر کنترلی تغییر زمان سفر در محور فرعی k (بین دو ایستگاه فرعی متواالی)	V_k^s
زمان سفر نامی محور فرعی k ام	R_k^s
زمان توقف نامی در ایستگاه فرعی k	S_k^s
نسبت بین زمان سفر نامی دو ایستگاه فرعی متواالی به دو ایستگاه اصلی متواالی	R
اغتشاش واردہ به زمان سفر نامی محور i ام	$A_{R,i}$
اغتشاش واردہ به زمان توقف نامی ایستگاه j ام	$A_{S,j}$
تعداد محورهای موجود در شبکه	N

رابط و معمولی دسته بندی می شود. در شکل ۱ بنا به تعریف بالا هر کدام از ایستگاهها می توانند اصلی یا فرعی باشند ولی قطعاً ایستگاه رابط j یک ایستگاه اصلی است.

ایستگاه فرعی^{۱۵}: ایستگاههایی که دارای جمعیت کم و تعداد مکانهای صنعتی خیلی کم هست و فقط شامل ایستگاههای معمولی می باشند.

ایستگاه معمولی^{۱۶}: این ایستگاهها می توانند جزو مردم دو دوسته ایستگاههای اصلی و فرعی باشند و ایستگاهی است که فقط مابین دو ایستگاه قرار دارد و در آن هیچ گونه عملیات تعویض قطار توسط مسافران انجام نمی شود و این ایستگاه فقط می تواند مبدأ یا مقصد برای مسافران باشد. در شکل ۱ ایستگاههای n, i, z, w, l ایستگاههای معمولی می باشند زیرا هیچ گونه عملیات تعویض قطار در این ایستگاهها رخ نمی دهد و مسافران در این ایستگاهها فقط می توانند از قطار پیاده شده یا بر آن سوار شوند.

ایستگاه رابط^{۱۷}: از جمله ایستگاههای اصلی بوده و ایستگاهی است بین دو یا چند ایستگاه که محل تقاطع دو یا چند محور از مسیرهای مختلف هست و به منظور برقراری ارتباط بین دو یا چند ایستگاه ایجاد می گردد که در شکل ۱ ایستگاه j یک ایستگاه رابط علاوه بر اینکه می تواند مبدأ یا مقصد برای مسافران باشد، در آن امکان تعویض قطار توسط مسافران نیز وجود دارد. لذا مسافرانی که سوار یک قطار از یک مسیر خاص می باشند در این ایستگاه می توانند از قطار خود پیاده شده و سوار قطار دیگری که مخصوص مسیر دیگری هست، شوند. در شکل ۱ مسافرانی که در داخل قطار مسیر z می باشند، در ایستگاه $n-i-j-z$ می توانند از قطار خود پیاده شده و منتظر ورود قطار مسیر رابط j می توانند از قطار خود پیاده شده و مسافرانی که در آن قطار سوار شوند. ملاقات هم زمان قطارها^{۱۸}: هر گاه دو قطار از دو مسیر متفاوت به طور هم زمان به یک ایستگاه رابط برستند ملاقات هم زمان گوییم که در این حالت هر دو قطار باید زمان کافی برای مسافرانی که قصد تعویض قطار خود را دارند توقف نمایند. به عنوان مثال در شکل ۱ هنگامی که قطارهای مسیر z و $n-i-j-z$ به ایستگاه رابط j می رسند، ملاقات هم زمان نامیده می شود.

تذکر: همان طور که می دانید هر ایستگاه می تواند اعم از معمولی یا رابط دارای چندین محور خروجی یا ورودی باشد، به عنوان مثال در شکل ۱ ایستگاه j دارای محورهای خروجی j_1, j_2 و محورهای ورودی i, l هست.

متغیرها و علامت بکار گرفته شده در این تحقیق در جدول ۱ معرفی شده است. لازم به ذکر است که در این مقاله تمامی پارامترهایی که در اندیس بالای آنها از پارامتر s به صورت $(*)$ استفاده شده است مربوط به ایستگاهها/محورهای فرعی می باشند و همچنین منظور از قطار j قطاری

¹⁷ Connection Station¹⁸ Train Crossing¹⁵ Sub Station¹⁶ Normal Station

$$d_j < d_l + R_l + M_l^j + A_{R,l} \quad (4)$$

- حال با معرفی سیگنال کنترلی $U_{l,j}$ می توان روابط (۳) و (۴) را ترکیب کرده و به رابطه (۵) تبدیل کرد:

$$d_j \geq d_l + R_l + M_l^j + A_{R,l} + U_{l,j} \quad (5)$$

حال می توان رابطه (۶) را برای حداقل مقدار زمان اعزامی (d_j) که تمامی روابط (۱)، (۲) و (۵) را برآورده می کند و به عبارتی تجمعی اثر تمامی شرایط (۱)، (۲) و (۵) است را ارائه کرد.

$$d_j = \max \left\{ \begin{array}{l} D_j, \max_{i \in \hat{I}} \left\{ d_i + R_i + S_i^j + A_{S,i} + A_{R,i} \right\}, \\ \max_{l \in \hat{L}} \left\{ d_l + R_l + M_l^j + A_{R,l} + U_{l,j} \right\} \end{array} \right\} \quad (6)$$

علاوه بر سیگنال کنترلی $U_{l,j}$ برای بازیابی تأخیرها می توان از سیگنال کنترلی V_i جهت کاهش زمان سفر مابین ایستگاهها استفاده کرد که در هر دو نوع ایستگاه معمولی و رابطه کاربرد دارد. از آنجاکه در راه آهن سراسری هر مسافر فقط می تواند سوار قطاری که شماره آن روی بلیت ذکر شده است شود، پس دیگر دلیلی بر افزایش زمان سفر (همانند مترو) وجود ندارد، لذا باید همواره $0 \leq V_i$ باشد. درنهایت رابطه (۶) به صورت زیر قابل بازنویسی است:

$$d_j = \max \left\{ \begin{array}{l} D_j, \max_{i \in \hat{I}} \left\{ D_i + R_i + S_i^j + A_{S,i} + A_{R,i} + V_i \right\}, \\ \max_{l \in \hat{L}} \left\{ D_l + R_l + M_l^j + A_{R,l} + V_l + U_{l,j} \right\} \end{array} \right\} \quad (7)$$

با توجه به رابطه (۷) زمان اعزام واقعی قطار j برابر با مقدار حداقل سه عبارت زیر هست:

- زمان اعزام نامی قطار j
- اگر ایستگاه j یک ایستگاه معمولی باشد آنگاه زمانی قطار j اعزام می شود که قطار i که همان قطار j در ایستگاه قبلی است به ایستگاه معمولی j رسیده باشد.
- اگر ایستگاه j یک ایستگاه رابطه باشد آنگاه قطار j می تواند زمانی اعزام شود که قطار i که با قطار j در ایستگاه رابطه j تقاطع دارد به ایستگاه j رسیده باشد و یا اینکه قطار i به ایستگاه j نرسیده باشد که در این حالت شرکت راه آهن شامل پرداخت جریمه می شود که باید به مسافران قطار i پرداخت گردد [۱۳].

۴- طراحی کنترل کننده پیشین مبتنی بر مدل
کنترل کننده پیشین مبتنی بر مدل بر اساس مدل صریحی از سیستم، رفتار آینده فرایند را پیش بینی و کنترل می کند. این دسته از کنترل کننده ها با حداقل کردن انحراف متغیرهای کنترل شونده از مقدار مطلوبشان از

۳- مدل سازی دینامیک زمان اعزام قطارها

در حالت کلی برای تعیین مقادیر i ، j و l که در شکل ۱ نمایش داده شد به صورت زیر عمل می کنیم:

۱. مجموعه تمامی قطارهای ممکن در یک شبکه ریلی برابر

تعداد محورها بوده و لذا با تعریف مجموعه $[N]: \hat{I}$ می توان شماره قطارها را در این مجموعه مشخص کرد. به عنوان مثال، اندیس j که مختص قطار جلویی یک مسیر نمونه است، در داخل بازه مذکور به صورت $j \in \hat{J}$ قرار می گیرد.

۲. مشابه ۱، برای مجموعه قطارهای ممکن که پس از قطار اول

در یک مسیر حرکت می کنند، مجموعه $\hat{I}: [1, N-1]$ تعریف شود. به عنوان مثال، اندیس i که مختص قطاری است که در یک مسیر نمونه (درجه حرکت قطار j) پشت سر آن) پشت سر قطار اول حرکت می کند، در مجموعه مذکور به صورت $i \in \hat{I}$ قرار می گیرد.

۳. اگر مجموعه \hat{L} شامل تمامی محورهای ختم شونده به ایستگاه های رابط موجود در شبکه باشد، به طوری که محورهای مجموعه \hat{L} با محورهای شروع شونده از ایستگاه های رابط تشکیل مسیر ندهد آنگاه $\hat{L} \subseteq I$ هست.

لازم به ذکر است که در فرایند مدل سازی اصول و قواعدی بر روی زمان اعزام واقعی وجود دارد که با در نظر گرفتن این قواعد می توان معادله زمان اعزام واقعی را به دست آورد. با توجه به شکل ۱ این قواعد و اصول موجود بر روی زمان اعزام واقعی عبارت اند از:

۱- قطار در هر محور نباید قبل از زمان اعزام نامی اعزام شود:

$$d_j \geq D_j \quad (1)$$

۲- اگر قطار j که قصد اعزام از ایستگاه j را دارد همان قطار i باشد که قبلاً از ایستگاه i به سمت ایستگاه j اعزام شده و رسیده است، آنگاه قطعاً رابطه (۲) برقرار است:

$$d_j \geq d_i + R_i + S_i^j + A_{S,i} + A_{R,i} \quad (2)$$

۳- اگر محور i و محور j در ایستگاه رابط i باهم تقاطع داشته باشند آنگاه اگر قطار j منتظر رسیدن قطار i به ایستگاه رابط j بماند و پس از اینکه تعدادی از مسافران یا تمامی مسافران هر دو قطار، قطار خود را تعویض کردن اعزام شود رابطه (۳) می بایست برقرار باشد.

$$d_j \geq d_l + R_l + M_l^j + A_{R,l} \quad (3)$$

و اگر قطار j منتظر رسیدن قطار i به ایستگاه رابط j نمانده و اعزام شود رابطه (۴) لازم است برقرار باشد.

با توجه به رابطه (۱۳) سه حالت زیر ممکن است اتفاق یافته:

$$\bullet \quad \text{اگر } 0 \leq t_{l,j} < t_l \text{ باشد آنگاه مقدار زمان کافی برای تمامی}$$

مسافران قطارهای l و j وجود دارد تا قطار خود را تعویض نمایند. در این حالت مقدار هزینه $M_{l,j}$ صفر است.

$$\bullet \quad \text{اگر } M_l^j < 0 \text{ باشد آنگاه مقدار زمان کافی برای}$$

مسافران قطارهای l و j وجود دارد تا قطار خود را تعویض نمایند و مسافران باید سریع تر قطارهای خود را تعویض نمایند. در این حالت مقدار $M_{l,j}$ برابر با درصدی از بیشترین مقدار

خود ($C_{l,j}$) است.

$$\bullet \quad \text{اگر } M_l^j \geq t_{l,j} \text{ باشد آنگاه قطار } j \text{ ایستگاه رابط } j \text{ را}$$

قبل از اینکه قطار l به ایستگاه رابط j برسد ترک می‌کند.

در این حالت مقدار $M_{l,j}$ بیشترین مقدار خود ($C_{l,j}$) را

داراست.

۳. بخش سوم تابع هزینه (J_3):

بخش سوم تابع هزینه، باهدف حداقل کردن تغییرات زمان سفر بهصورت (۱۴) ارائه شده است:

$$J_3 = \gamma \cdot \sum_{i \in \hat{I}} T_i \quad (14)$$

که:

$$T_i = C_i (V_i)^2 \quad (15)$$

در (۱۵) V_i نشانگر تغییر زمان سفر مختص تمامی محورهای مابین ایستگاهها اعم از ایستگاههای رابط و معمولی هست.

در روابط (۹)، (۱۱) و (۱۴)، پارامترهای α ، β و γ ضرایب وزنی به

ترتیب برای تعیین اهمیت هر یک از تابع هزینه F^i و $M_{l,j}$ دارای

می‌باشد. لازم به ذکر است پارامتر β بدون واحد بوده، پارامتر α دارای واحد $\frac{1}{\text{واحد زمان}}$ و پارامتر γ دارای واحد $\frac{1}{(\text{واحد زمان})^2}$ می‌باشدند. درنهایت

باید گفت مقادیر بهینه متغیرهای V_i و $U_{l,j}$ مقادیری هستند که در

رابطه (۸) مقدار J را حداقل نمایند.

۱-۱-۴ قیود عملیاتی حاکم بر مسئله

علاوه بر مدل‌سازی و تعریف تابع هزینه مناسب، از جمله نکات دیگری که در تعریف و طراحی صحیح سیستم کنترل و عملیاتی شدن آن نقش مهمی دارد قیود و محدودیت‌هایی است که می‌بایست بر روی متغیرهای سیستم کنترل تعریف شود. در این بخش دو قید حاکم بر متغیر کنترل زمان سفر و قید حاکم بر تلاش کنترلی ملاقات یا عدم ملاقات قطارها در ایستگاه رابط معروفی می‌شوند:

طریق حداقل سازی تابع هزینه که بر مبنای مربعات خطاهای پیش‌بینی سیستم نوشته می‌شود به قانون کنترلی بهینه دست پیدا می‌کنند. با توجه به وجود قیود حاکم بر مسئله، یافتن حل بهینه جامع برای تابع هزینه بهصورت تحلیلی و بهسادگی ممکن نبوده و در این موارد از حل‌های عددی استفاده می‌شود [۱۳].

۴-۱- تابع هزینه و قیود حاکم بر مسئله

همان‌گونه که پیش‌تر اشاره شد هدف مدنظر در کنترل ترافیک ریلی، بازیابی تأخیر در یک سیستم ترافیکی ریلی است. برای این هدف به تابع هزینه‌ای در جهت دست یافتن به اهداف سیستم ترافیکی نیاز خواهیم داشت که حداقل کردن آن بتواند موجب دست یافتن به قانون کنترل بهینه و اهداف مدنظر ذکر شده در بخش مقدمه گردد.

تابع هزینه پیشنهادی بهصورت رابطه (۸) مشتمل بر سه بخش J_1 ، J_2 و J_3 است.

$$J = J_1 + J_2 + J_3 \quad (8)$$

۱. بخش اول تابع هزینه (J_1):

هدف این بخش از تابع هزینه، تضمین پیروی سیستم ترافیک

ریلی (زمان اعزام قطارها) از جدول زمان‌بندی است. لذا

بهصورت زیر تعریف می‌گردد:

$$J_1 = \alpha \cdot \sum_{i \in \hat{I}} F^i \quad (9)$$

که:

$$F^i = C^i (d_i - D_i) \quad (10)$$

واضح است که با توجه به رابطه (۱۰)، F^i همواره نا منفی هست.

۲. بخش دوم تابع هزینه (J_2):

هدف بخش دوم تابع هزینه مربوط به ملاقات یا عدم ملاقات قطارهای j و l است. به این منظور J_2 تعریف می‌شود:

$$J_2 = \beta \cdot \sum_{j \in \hat{J}} \sum_{l \in \hat{L}} M_{l,j} \quad (11)$$

که:

$$M_{l,j} = \begin{cases} 0 & t_{l,j} \leq 0 \\ \left(\frac{C_{l,j}}{M_l^j} \right)^* t_{l,j} & 0 < t_{l,j} < M_l^j \\ C_{l,j} & t_{l,j} \geq M_l^j \end{cases} \quad (12)$$

در رابطه (۱۲) و بهمنظور ایجاد شرایط مختلف ملاقات دو قطار، متغیر $t_{l,j}$ را می‌توان با توجه به رابطه (۷) برای تعیین ملاقات یا عدم ملاقات

قطارهای l و j بهصورت (۱۳) تعریف نمود:

$$t_{l,j} = D_l + R_l + M_l^j + A_{R,l} + V_l - d_j \quad (13)$$

مرحله اول: مقدار $1 = j$. قرار داده شود.

مرحله دوم: تعریف محدودیت لازم برای V_i و $U_{l,j}$ با توجه به رابطه (۲۰).

مرحله سوم: اگر مقدار $2 > j$ بود آنگاه مقدار $1 - j = i$ خواهد بود.

مرحله چهارم: اگر j محوری باشد که از ایستگاه رابط j شروع می‌شود

آنگاه 1 آن عضوی از مجموعه \hat{L} هست که به ایستگاه رابط j ختم می‌شود.

مرحله پنجم: با قرار دادن پارامترهای مشخص زمان سفر نامی، زمان توقف نامی، زمان جابجایی نامی و همچنین مقادیر اغتشاش زمان سفر و اغتشاش زمان توقف در رابطه (۷) مقدار d_j بر حسب $U_{l,j}$ و V_i محاسبه می‌شود.

مرحله ششم: j به دست آمده از مرحله چهارم را در رابطه (۱۰) قرار داده

و مقدار F^i بر حسب $U_{l,j}$ و V_i محاسبه می‌شود.

مرحله هفتم: حال با داشتن مقادیر پارامترهای رابطه (۷) مقدار $t_{l,j}$ مطابق رابطه (۱۳) به دست می‌آید.

مرحله هشتم: با قرار دادن j در رابطه (۱۲) و پارامترهای مشخص M_l^j و $C_{l,j}$ مقدار $M_{l,j}$ بر حسب $U_{l,j}$ محاسبه می‌شود.

مرحله نهم: با قرار دادن i در رابطه (۱۵) مقدار T_i بر حسب V_i محاسبه می‌شود.

مرحله دهم: با قرار دادن F^i و $M_{l,j}$ و T_i و تعیین ضرایب وزنی با توجه به اهداف طراح در رابطه (۸)، تابع هزینه به صورت تابعی صریح از $U_{l,j}$ و V_i بیان می‌شود.

مرحله یازدهم: استفاده از روش حل عددی بر مبنای الگوریتم SQP به منظور محاسبه $U_{l,j}$ و V_i با حداقل نمودن تابع هزینه.

مرحله دوازدهم: با قرار دادن j و V_i در رابطه (۷) مقدار d_j بر حسب زمان به دست می‌آید.

مرحله سیزدهم: به مقدار j یک واحد اضافه گشته و به مرحله سوم بازگردید، این فرایند به تعداد محورها تکرار می‌شود.

۵- مقیاس بندی شبکه ریلی

همان گونه که پیش تر گفته شد با توجه به وجود ایستگاههای فرعی متعدد در شبکه ریلی برای ساده نمودن فرایند مدل سازی و امکان حل مسئله کنترل در زمان قابل قبول، در این قسمت یک شبکه ریلی واقعی به شبکه کوچکتر مقیاس بندی می‌شود. با این عمل تعداد معادلات و زمان انجام محاسبات کنترل را کاهش داده، ضمن اینکه از دقت مدل و صحت نتایج کنترل نیز کاسته نمی‌شود. از آنجاکه برای مسئله مدل سازی ترافیک و کنترل آن پارامترهای زمانی همچون زمان اعزام، زمان توقف و زمان سفر

• قید حاکم بر تلاش کنترلی کاهش زمان سفر

همان گونه که توضیح داده شد سیگنال کنترلی اعمالی به منظور پایدارسازی سیستم نباید تناقض با مسائل مربوط به بهره‌برداری داشته باشد. به عبارت دیگر، کاهش زمان سفر در نتیجه افزایش سرعت قطار هست و از آنجایی که سرعت در طول خط دارای محدودیت است، لذا محدودیت بر روی سیگنال کنترلی که موجب تغییر زمان سفر می‌گردد می‌باشد در طراحی کنترل کننده لحظه‌گرد. از آنجاکه در خطوط راه‌آهن سراسری و کنترل ترافیک با استفاده از روش جبر بیشینه جمع سیگنال کنترلی همواره نامثبت بوده و هدف آن صرفاً افزایش سرعت هست تا زمان سفر را کاهش دهد، در نتیجه حد بالای سیگنال کنترل صفر می‌باشد. حد پایین سیگنال کنترل نیز متناظر اختلاف بین زمان سفر نامی و حداقل زمان سفر هست. واضح است که اگر سیگنال کنترلی حداقل مقدار خود را بگیرد، زمان سفر حداقل گشته و با حداقل سرعت باید مسیر طی شود:

$$r_i^{\min} - R_i \leq V_i \leq 0 \quad (16)$$

• قید حاکم بر تلاش کنترلی ملاقات یا عدم ملاقات قطارها در ایستگاه رابط

همان گونه که توضیح داده شد سیگنال کنترلی اعمالی به منظور پایدارسازی سیستم نباید تناقض با مسائل مربوط به بهره‌برداری داشته باشد. از آنجایی که بهره‌برداری و ظرفیت در طول خط دارای محدودیت است، لذا محدودیت بر روی سیگنال کنترلی که تعیین کننده ملاقات یا عدم ملاقات قطارها در ایستگاه رابط هست می‌باشد در طراحی کنترل کننده لحظه‌گرد. در خطوط راه‌آهن سراسری و کنترل ترافیک با استفاده از روش جبر بیشینه جمع هدف سیگنال کنترلی افزایش خط به همراه جابجایی مسافران در ایستگاه رابط هست. حد بالای $J_{l,j}$ به گونه‌ای باید باشد تا بهینه‌سازی رعایت شود و نیز از جدول زمان‌بندی پیروی شود و حد پایین $J_{l,j}$ نیز به گونه‌ای در نظر گرفته می‌شود که مقدار آن بینهایت نشود. حال اگر در رابطه (۷) مقدار عبارت‌ها را برای سهولت نمایش به صورت زیر بازنویسی کنیم:

$$G1 = \max_{i \in \hat{L}} \left\{ D_i + R_i + S_i^j + A_{S,j} + A_{R,i} + V_i \right\} \quad (17)$$

$$G2 = D_l + R_l + M_l^j + A_{R,l} + V_l \quad (18)$$

آنگاه می‌توان رابطه (۷) را به صورت زیر خلاصه نمود:

$$d_j = \max \left\{ D_j, G1, \max_{l \in \hat{L}} \left\{ G2 + U_{l,j} \right\} \right\} \quad (19)$$

حال می‌توان محدوده $J_{l,j}$ را به صورت رابطه (۲۰) نمایش داد:

$$\min(D_j, G1) - G2 \leq U_{l,j} \leq \max(D_j, G1) - G2 \quad (20)$$

۴-۲- الگوریتم کنترل پیش‌بین مبتنی بر مدل

در این قسمت الگوریتمی از اعمال بهینه‌سازی را مشاهده می‌کنیم:

$$R = \frac{R_k^s}{R_i} \quad (\text{पर्याप्त})$$

همان طور که گفته شد پس از محاسبه مقدار V_i با داشتن مقدار R

می توان مقدار V_k^S را مطابق رابطه (۲۴) محاسبه کرد:

$$V_k^s = R.V_i \quad (44)$$

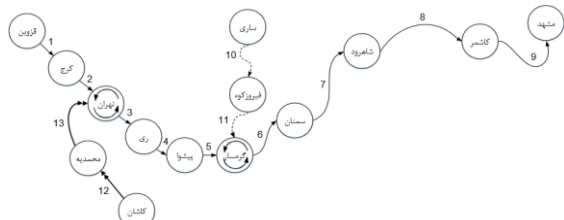
با توجه به شکل ۷ مقدار V_1 (سیگنال کنترلی کاهش زمان سفر در کل مسیر قزوین تا کرج) برابر با $10 - 10$ دقیقه هست. بنابراین مقدار زمان سفر جبران شده مابین هر دو ایستگاه فرعی متوالی با استفاده از رابطه (۲۴) در جدول ۲ نمایش داده شده است.

جدول ۲: جدول زمانی مسیر قزوین - کرج

D_j (دقیقه) (ساعت)	V_k^s (نایاب)	R (درصد)	میزان کلیوواتر	S_i^j (دقیقه)	R_k^s (دقیقه)	استگاه متصل	استگاه مبدأ	شماره محور
-۰۱:۳۰	-۱۰	۱۶.۹	۱۷.۷	*	۱۲	کهن در (فرعی)	قریون (اصلی)	۱
-۰۱:۴۳	-۹۳	۱۵.۹	۱۸	*	۱۱	زیباران (فرعی)	کهن در	۲
-۰۲:۰۰	-۹۳	۱۵.۹	۱۷.۱	۷	۱۱	آبیک (فرعی)	زیباران	۳
-۰۲:۱۳	-۹۳	۱۵.۹	۱۶.۳	۲	۱۱	هشتگرد (فرعی)	آبیک	۴
-۰۲:۴۶	-۹۳	۱۵.۹	۱۸	۲	۱۱	کردان (فرعی)	هشتگرد	۵
-۰۳:۴۹	-۱۴۷	۲۱.۱۲	۱۷	۳	۱۵	کردان (اصلی)	کردان	۶

۶- نتایج شبیه‌سازی

همان گونه که پیش تر اشاره شد، ساختار ترافیکی موردنظر در این تحقیق مربوط به بخشی از راه آهن جمهوری اسلامی ایران به صورت نشان داده شده در شکل ۳ هست. از آنجاکه هدف این مقاله جبران تأخیر در شبکه ریلی راه آهن جمهوری ایران با در نظر گرفتن نقش ایستگاه رابط و همراه با مسئله مقیاس بندی شبکه های واقعی هست، لذا اطلاعات زمانی واقعی از شرکت راه آهن استخراج و مسیرهایی از شبکه راه آهن که شامل ایستگاه های رابط می باشند، انتخاب شده است. از آنجاکه در دوره تناوب یک روزه فقط در یک بازه زمانی خاص از روز قطارهای شبکه در ایستگاه های رابط ملاقات هم زمان دارند، لذا در هر یک از مسیرهای شبکه شکل ۳ فقط یک قطار سیر می کند. همان گونه که در شکل ۳ مشاهده می کنید، سه مسیر وجود دارد که قطار اول مسیر فروین - مشهد، قطار دوم مسیر ساری - گرمسار و قطار سوم مسیر کاشان - تهران را طی می کند. مسیرهای مذکور در شبکه ریلی واقعی مجموعاً شامل ۹۰ ایستگاه و ۸۸ محور می باشند. با توجه به توضیحات گفته شده در بخش ۵ مدل مقیاس بندی شده مجموعاً شامل ۱۴ ایستگاه و ۱۳ محور می شود.



شکل ۳: قسمتی از نقشه واقعی راه آهن جمهوری اسلامی ایران در مسیر قزوین- کرج، شامل تمامی ایستگاه‌های اصلی و فرعی

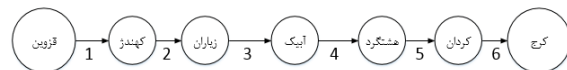
از ادریس استگاهها از اهمیت زیادی برخوردار است، لذا تعدادی از
ایستگاههای فرعی حذف گشته و اطلاعات زمانی ایستگاههای فرعی به
ایستگاههای اصلی انتقال می‌باشد. در روش مقیاس بندی، زمان توقف
ایستگاه فرعی را حذف نموده و مقدار آن به زمان توقف ایستگاه اصلی
بعد از آن منتقل می‌شود. در حالت کلی می‌توان نشان داد که مطابق رابطه
(۲۱) اگر محور اصلی a که مابین دو ایستگاه اصلی متولی است و مابین
این دو ایستگاه اصلی، k ایستگاه فرعی وجود داشته باشد، را به
زیرمحورهای فرعی $a+1 = 1, 2, 3, \dots, k$ تقسیم کنیم، آنگاه می‌توان با
محاسبه مجموع زمان‌های سفر نامی زیرمحورهای فرعی مقدار زمان سفر
نامی بین دو ایستگاه اصلی متولی را به دست آورد.

$$R_i = \sum_{k=1}^{a+1} R_k^s \quad (41)$$

رابطه (۲۲) نیز نشان می دهد اگر محور اصلی i که مابین دو ایستگاه اصلی متوالی است و مابین این دو ایستگاه اصلی، تعداد a ایستگاه فرعی وجود داشته باشد، را به زیرمحورهای فرعی $k = 1, 2, 3, \dots, a+1$ تقسیم کنیم، آنگاه می توان با محاسبه مجموع زمان های توقف نامی قطار در ایستگاه های فرعی $k = 1, 2, \dots, a$ مقدار زمان توقف نامی در ایستگاه اصلی را به دست آورد:

$$S_i^j = \sum_{k=1}^a S_k^s \quad (\text{44})$$

به منظور در ک بهتری از توضیحات ارائه شده در بالا، شکل ۲ در مسیر ریلی قزوین - مشهد را در نظر بگیرید. ماین دو ایستگاه قزوین تا کرج ۵ ایستگاه فرعی وجود دارد و ۲ ایستگاه قزوین و کرج اصلی می‌باشند. با توجه به رابطه (۲۱) و جدول ۲ زمان سفر نامی بین ایستگاه قزوین و کرج برابر ۷۱ دقیقه هست و با توجه به رابطه (۲۲) و جدول ۲ زمان توقف نامی در ایستگاه کرج برابر با ۱۳ دقیقه هست.



شکل ۲: قسمتی از نقشه واقعی راه آهن جمهوری اسلامی ایران در مسیر قزوین - کرج، شامل تمامی استگاههای اصلی و فرعی

تا اینجا یک مسئله واقعی به یک مسئله با مقیاس کوچک‌تر شبیه‌سازی شد. حال برای آنکه بتوان مسئله شبیه‌سازی شده را به مسئله واقعی اولیه تبدیل کرد نیاز به محاسبات دیگری است که بتوان نتایج مسئله مقیاس بندی شده را به مقادیر قابل استفاده در شبکه ریلی واقعی تبدیل نمود. بدین منظور ابتدا نسبت بین زمان سفر نامی до ایستگاه فرعی متواالی و زمان سفر نامی دو ایستگاه اصلی متواالی را به دست آورده و پس از محاسبه V_i مربوط به دو ایستگاه اصلی متواالی، مقدار V_k^S مربوط به دو ایستگاه فرعی متواالی به دست می‌آید.

در رابطه (۲۳) نسبت بین زمان سفر نامی دو ایستگاه فرعی متواالی و زمان سفر نامی دو ایستگاه اصلی متواالی به دست می آید:

تذکر: لازم به ذکر است که منظور از حالت بدون کنترل حالتی است که اگر تأخیری برای یک قطار به وجود آید این تأخیر به کل شبکه انتقال می‌یابد و از بین نمی‌رود. همچنین در مورد ایستگاه رابط نیز می‌توان گفت اگر قطار A دچار تأخیر شود آنگاه قطار B منتظر رسیدن قطار A و سوارشدن مسافران قطار A بر قطار B می‌ماند.

تذکر: لازم به ذکر است که پارامتر اتفق پیش بینی در شبیه سازی حاضر برابر با ۴ در نظر گرفته شده است که با توجه به تعداد ایستگاه های اصلی شکل ۳، انتخاب شده است و به گونه ای در نظر گرفته شده است که قابلیت محاسبه آن با توجه به تعداد ایستگاه های بعدی در شبیه سازی وجود داشته باشد.

اغتشاش های استراتژی های ذکر شده به صورت جدول ۴ تنظیم شده است:

جدول ۴: اغتشاش های واردہ در شبیه سازی

اغتشاش واردہ به زمان سفر	مقدار (دقیقه)	توصیف
$A_{R,1}$	۱۰	اغتشاش واردہ به زمان سفر قطار اول بین ایستگاه قزوین و کرج
$A_{R,10}$	۵	اغتشاش واردہ به زمان سفر قطار دهم بین ایستگاه ساری و فیروزکوه
$A_{R,13}$	۲۰	اغتشاش واردہ به زمان سفر قطار سوم بین ایستگاه کاشان و محمدیه

پارامترهای کاربردی شبیه سازی در جدول ۵ تنظیم شده است. لازم به ذکر است که در جدول ۵ مقادیری که برای C^i در نظر گرفته شده است با توجه به مقدار مسافت باقیمانده تا مقصد هر مسیر انتخاب شده است، بدین صورت که هر قدر مسافت باقیمانده تا مقصد بیشتر باشد مقدار C^i بیشتر است. در مورد C_i نیز باید گفت از آنجاکه در هنگام حرکت در فراز به منظور افزایش سرعت باید مقدار سوخت بیشتری مصرف شود، لذا در طول مسیر به ازای حرکت بر مسیر از مبدأ به سمت مقصد اگر قطار رو به فراز باشد مقدار C^i افزایش و اگر قطار رو به شب باشد مقدار C^i کاهش می‌یابد.

جدول ۵: پارامترهای بکار گرفته شده در شبیه سازی

مقدار	پارامتر	مقدار	پارامتر	مقدار	پارامتر	مقدار	پارامتر	مقدار	پارامتر
۵۰	C^7	۱۶	C_{12}	۷	C_4	$\frac{1}{10}(\text{ واحد زمان})$	α		
۳۱	C^8	۸	C_{13}	۹	C_5	۱۵	β		
۱۰	C^9	۲۰۰	C^1	۱۵	C_6	$\frac{1}{5}(\text{ واحد زمان})^2$	γ		
۸۰	C^{10}	۱۵۰	C^2	۱۴	C_7	۷۵	$C_{11,6}$		
۶۰	C^{11}	۹۰	C^3	۵	C_8	۱۰۰	$C_{13,3}$		
۴۰	C^{12}	۹۰	C^4	۹	C_9	۱۱	C_1		
۱۵	C^{13}	۸۰	C^5	۲۰	C_{10}	۷	C_2		
		۶۰	C^6	۱	C_{11}	۷	C_3		

در این قسمت قیود لازم برای سیگنال های کنترلی که در رابطه (۱۶) و (۲۰) بیان شد به صورت جداول ۶ و ۷ مشاهده می شود:

همان گونه که در شکل ۳ دیده می شود، ایستگاه های تهران و گرمسار ایستگاه های رابط می باشند که ملاقات قطارها در آنها می تواند رخداد و مابقی ایستگاه ها به صورت ایستگاه معمولی در نظر گرفته شده اند. با توجه به شکل ۳ مسیر قزوین به مشهد شامل محورهای ۱ تا ۹ هست که با (→) به هم متصل شده اند، مسیر ساری - گرمسار شامل محورهای ۱۰ تا ۱۱ هست که با (↔) به هم متصل شده اند و مسیر کاشان - تهران شامل محورهای ۱۲ تا ۱۳ هست که با (→) به هم متصل شده اند. لازم به ذکر است که در شبیه سازی شکل ۳ مقادیر [1,13]: \hat{J} ، [1,12]: \hat{L} و {11,13}: \hat{L} می باشند.

اطلاعات زمانی شبکه ترافیکی موردنظر شکل ۳ که شامل حداقل زمان سفر، زمان سفر نامی، زمان توقف نامی و زمان اعزام نامی هست در جدول ۳ نمایش داده شده است. به منظور در کم بهتر از ساختار ترافیکی مدنظر در این تحقیق، اگر مسافری از ایستگاه ساری به سمت ایستگاه مشهد سفر داشته باشد باید قطار ساری - گرمسار را سوار شده و در ایستگاه رابط گرمسار خط خود را عرض کرده و سوار قطار قزوین - مشهد شود. در مورد ایستگاه رابط تهران نیز می توان چنین گفت که اگر مسافری بخواهد از ایستگاه کاشان به ایستگاه مشهد برود باید قطار کاشان - تهران را سوار شده و در ایستگاه رابط تهران خط خود را عرض کرده و سوار قطار قزوین - مشهد شود. در پیشتر موقع ایستگاه رابط یک امکان انتخاب مضاعف به مسافران می دهد که مسافران می توانند با توجه به علاقه خود از بین چندین مسیر یک مسیر را انتخاب نمایند.

در ادامه نتایج شبیه سازی و عملکرد سیستم در چهار سناریوی مختلف مطرح می شود:

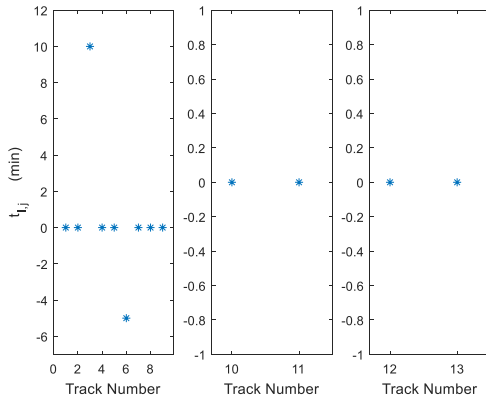
- حلقه باز (بدون کنترل)
- کنترل با استفاده از تغییر در بازه زمانی ملاقات یا عدم ملاقات قطارهای برنامه ریزی شده در ایستگاه رابط
- کنترل با استفاده از کاهش زمان سفر
- کنترل با استفاده از ترکیب کاهش زمان سفر همراه با تغییر در بازه زمانی ملاقات یا عدم ملاقات قطارهای برنامه ریزی شده در ایستگاه رابط

جدول ۳: پارامترهای زمانی شبکه ریلی نشان داده شده در شکل ۳ (ایستگاه های

تهران و گرمسار ایستگاه رابط هستند).

D_j (ساعت)	M_j^I (دقیقه)	S_i^j (دقیقه)	R_i (دقیقه)	r_i^{\min} (دقیقه)	ایستگاه مقصد	ایستگاه مبدأ	شماره محور
-۱:۵۰	.	.	۷۱	۴۰	کرج	قزوین	۱
-۲:۳۵	.	۱۳	۵۱	۳۱	کرج	تهران	۲
-۰:۱۵	۱۵	۳۰	۱۳	۸	ری	تهران	۳
-۰:۴۵	.	۷	۳۰	۲۰	پیشو	ری	۴
-۰:۵۱	.	۵	۳۱	۱۹	گرمسار	پیشو	۵
-۰:۰۶	۱۰	۲۵	۶۲	۳۵	گرمسار	سمنان	۶
-۰:۰۶	.	۲۰	۲۶۶	۱۸۰	سمنان	شهرورد	۷
-۰:۰۶	.	۱۲	۶۶	۳۳	کامسر	شهرورد	۸
-۰:۰۶	.	۵	۱۳	۱۲	کامسر	مشهد	۹
-۰:۰۶	.	۰	۱۷۷	۱۲۰	مشهد	پیشو	۱۰
-۰:۰۶	.	۳۵	۱۲۳	۶۰	پیشو	کامسر	۱۱
-۰:۰۶	.	۰	۵۹	۳۵	کامسر	مشهد	۱۲
-۰:۰۶	.	۲۰	۱۱۳	۷۰	مشهد	تهران	۱۳

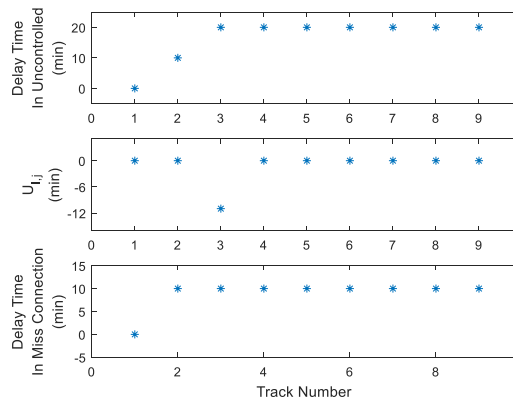
کمی برای مسافران قطارهای ۳ و ۱۳ وجود دارد تا قطار خود را تعویض نمایند و مسافران باید سریع تر قطارهای خود را تعویض نمایند که مقدار $M_{13,3}$ برابر با درصدی از بیشترین مقدار خود (C) هست.



شکل ۵: زمان تعیین کننده ملاقات یا عدم ملاقات قطارها در ایستگاه رابط

• مسیر اول (قزوین - مشهد)

در این قسمت ابتدا نمودارهای مربوط به قطار اول (مسیر قزوین - مشهد) نمایش داده می شود. در شکل ۶ تأخیر زمانی در حالت بدون کنترل، متغیر کنترلی $U_{l,j}$ و تأخیر زمانی در حالت کنترل با روش تغییر در بازه زمانی ملاقات یا عدم ملاقات قطارها نمایش داده شده است:



شکل ۶: نمایش متغیر کنترلی $U_{l,j}$ ، تأخیر زمانی در حالت های بدون

کنترل و کنترل با روش ملاقات یا عدم ملاقات قطارها

همان طور که در شکل ۶ مشاهده می کنید اختشاش واردہ به زمان سفر در محور اول به میزان ۱۰ دقیقه در تأخیر زمانی حالت بدون کنترل اعمال شده است. همچنین تأخیر زمانی در حالت بدون کنترل در محور سوم نیز به صورت صعودی هست که مقدار آن به دلیل اختشاش واردہ به زمان سفر قطار ۱۳ به میزان ۲۰ دقیقه هست. همچنین مقدار $-10.2 = U_{13,3}$ هست که با اعمال آن تأخیر در حالت کنترل با روش تغییر در بازه زمانی ملاقات یا عدم ملاقات قطارها به میزان تقریباً ۱۰ دقیقه می رسد. حال در شکل ۷

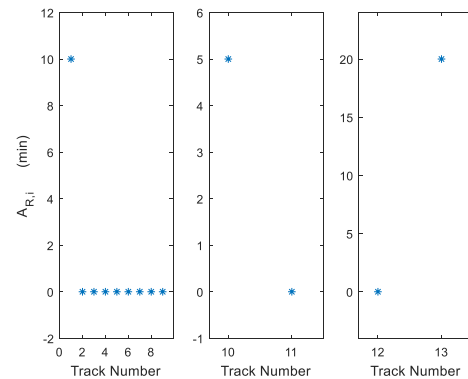
جدول ۶: قیود لازم برای سیگنال کنترلی V_t (واحد: دقیقه)

$-31 \leq V_1 \leq 0$
$-20 \leq V_2 \leq 0$
$-5 \leq V_3 \leq 0$
$-10 \leq V_4 \leq 0$
$-12 \leq V_5 \leq 0$
$-27 \leq V_6 \leq 0$
$-86 \leq V_7 \leq 0$
$-33 \leq V_8 \leq 0$
$-47 \leq V_{10} \leq 0$
$-63 \leq V_{11} \leq 0$
$-24 \leq V_{12} \leq 0$
$-43 \leq V_{13} \leq 0$

جدول ۷: قیود لازم برای سیگنال کنترلی $U_{l,j}$

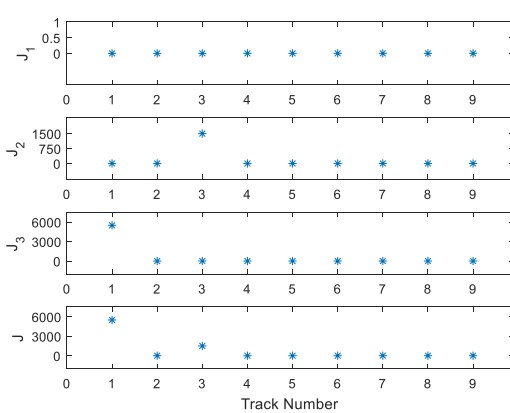
$-20 \leq U_{13,3} \leq -10$
$-5 \leq U_{11,6} \leq 5$

در این قسمت به ترتیب به نمایش نمودارهای مربوطه می پردازیم و ابتدا در شکل ۴ اختشاش های واردہ بر زمان سفر هر سه مسیر را نمایش می دهیم:



شکل ۴: نمایش اختشاش های واردہ بر زمان سفر هر سه قطار

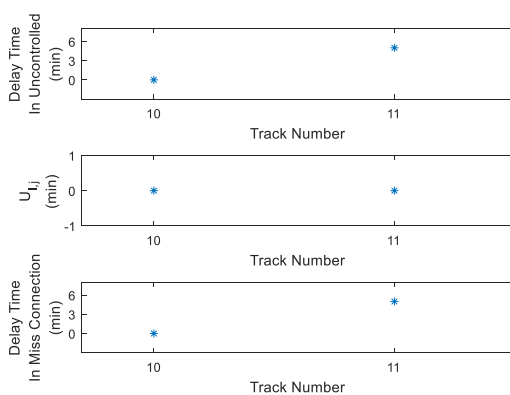
در شکل ۵ نیز مقدار زمان تعیین کننده ملاقات یا عدم ملاقات قطارهای ۳ و ۱۳ در ایستگاه ۳، قطارهای ۱۱ و ۶ در ایستگاه ۶ را نمایش می دهد. با توجه به روابط (۱۲) و (۱۳) از آنجاکه مقدار $-5 = U_{11,6}$ منفی هست، لذا قطار ۶ منتظر قطار ۱۱ می باشد و تمامی مسافران هر دو قطار زمان کافی برای تعویض قطارهای خود دارند. اما از آنجاکه $10 = U_{13,3}$ مثبت هست و از زمان توقف نامی ($M_{13}^3 = 15$) کمتر است، لذا قطار ۳ منتظر قطار ۱۳ می باشد و شامل پرداخت جریمه می شود. در این حالت مقدار زمان



شکل ۸ تابع هزینه برای قطار مسیر قزوین - مشهد در حالت کنترل ترکیبی

قطار مسیر دوم (ساری - گرمسار)

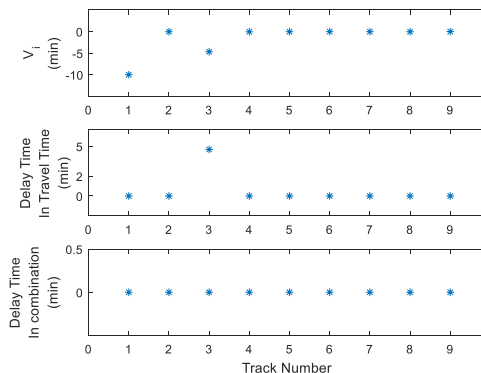
در این قسمت ابتدا نمودارهای مربوط به قطار دوم (مسیر ساری - گرمسار) نمایش داده می‌شود. در شکل ۹ تأخیر زمانی در حالت بدون کنترل، متغیر کنترلی $j_{l,j}$ و تأخیر زمانی در حالت کنترل با تغییر در بازه زمانی روش ملاقات یا عدم ملاقات قطارها نمایش داده شده است:



شکل ۹ نمایش متغیر کنترلی $j_{l,j}$ ، تأخیر زمانی در حالت‌های بدون کنترل و کنترل با روش ملاقات یا عدم ملاقات قطارها

همان‌طور که در شکل ۹ مشاهده می‌کنید اختشاش واردہ به زمان سفر در محور ۱۰ به میزان ۵ دقیقه در تأخیر زمانی حالت بدون کنترل اعمال شده است، درنتیجه تأخیر زمانی در حالت کنترل با روش تغییر در بازه زمانی ملاقات یا عدم ملاقات قطارها با حالت بدون کنترل برابر است. حال در شکل ۱۰ متغیر کنترلی $j_{l,j}$ ، تأخیر زمانی در حالت کنترل با روش کاهش زمان سفر و تأخیر زمانی در حالت کنترل ترکیبی نمایش داده شده است:

متغیر کنترلی $j_{l,j}$ ، تأخیر زمانی در حالت کنترل با روش کاهش زمان سفر و تأخیر زمانی در حالت کنترل ترکیبی نمایش داده شده است:

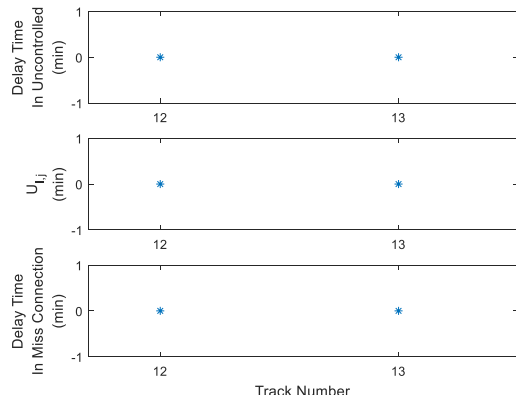


شکل ۷ نمایش متغیر کنترلی $j_{l,j}$ ، تأخیر زمانی در حالت کنترل با روش کاهش زمان سفر و کنترل ترکیبی

همان‌طور که در شکل ۷ مشاهده می‌کنید مقدار $-10 = V_1$ هست که با اعمال آن تأخیر در حالت کنترل با روش کاهش زمان سفر در محور اول صفر و مقدار تأخیر در محور سوم نیز با اعمال $-15 = V_{13}$ و $-5 = V_3$ به میزان تقریباً ۵ دقیقه می‌رسد. در مورد کنترل ترکیبی نیز به دلیل آنکه ترکیب دو متغیر کنترلی V_i و V_j هست، بنابراین تأخیر در محور اول با اعمال $-10 = V_1$ برابر صفر هست و تأخیر در محور سوم نیز با جمع $-15 + V_{13} = -10.2$ و $V_{13} = -10.2$ برابر صفر می‌شود. حال در شکل ۸ هر سه بخش تابع هزینه نهایی برای حالت کنترل ترکیبی که J_1 و J_2 و J_3 می‌باشد به همراه تابع هزینه نهایی J برای مسیر دو اول نمایش داده شده است. به عنوان مثال در مورد J_2 ، مسافران قطار ۱۳ سوار شدن بر قطار ۳ را دارند، کاهش انحراف از زمان اعزام (قطار ۱۳ به قطار ۳ در ایستگاه ۳ (تهران) می‌رسد ولی مسافران زمان کافی برای تعویض قطار ندارند و درنتیجه ممکن است تعدادی از مسافران نتوانند قطار خود را تعویض کنند) سبب تولید بیشترین مقدار هزینه به مقدار ۱۵۰۰ می‌شود (همان‌طور که در شکل ۶ مشاهده نمودید سیگنال کنترلی $j_{l,j}$ در محور ۳ دارای بیشترین مقدار هست). همچنین همان‌طور که مشاهده می‌کنید کاهش زمان سفر موجب افزایش هزینه می‌شود و با توجه به شکل ۸ مشاهده می‌شود که در تمامی محورهایی که سیگنال کنترلی $j_{l,j}$ دارد تابع هزینه مربوطه دارای مقدار هست. با توجه به شکل ۸ بیشترین مقدار J_3 مربوط به محور ۱ هست که دارای مقدار ۵۵۰۰ هست (همان‌طور که در شکل ۷ مشاهده نمودید سیگنال کنترلی $j_{l,j}$ در محور ۱ دارای بیشترین مقدار هست). درنهایت با مجموع این سه بخش و ضرایب وزنی تعیین شده مقدار تابع هزینه نهایی J نیز مطابق رابطه (۸) به صورت شکل ۸ نمایش داده می‌شود و همان‌طور که مشاهده می‌کنید بیشترین مقدار J به محور ۱ تعلق دارد که دارای مقدار ۵۵۰۰ هست.

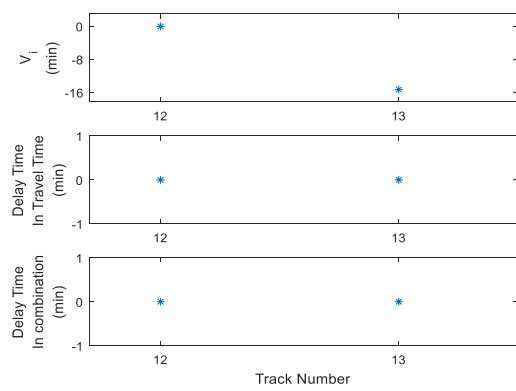
قطار مسیر سوم (کاشان - تهران)

در این قسمت ابتدا نمودارهای مربوط به قطار سوم (مسیر کاشان - تهران) نمایش داده می‌شود. در شکل ۱۲ تأخیر زمانی در حالت بدون کنترل، متغیر کنترلی J_U و تأخیر زمانی در حالت کنترل با تغییر در بازه زمانی روش ملاقات یا عدم ملاقات قطارها نمایش داده شده است:



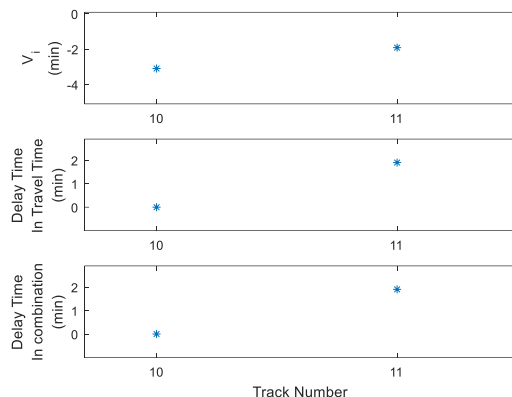
شکل ۱۲: نمایش متغیر کنترلی J_U ، تأخیر زمانی در حالت‌های بدون کنترل و کنترل با روش ملاقات یا عدم ملاقات قطارها

همان‌طور که در شکل ۱۲ مشاهده می‌کنید و نیز با توجه به شکل ۴ از آنجاکه اختشاش واردۀ به زمان سفر قطار ۱۳، تأثیری در قطار مسیر سوم ندارد و این اختشاش سبب دیر رسیدن مسافتان قطار ۱۳ به استگاه تهران می‌شود، لذا در حالت بدون کنترل و با کنترل به روش تغییر در بازه زمانی ملاقات یا عدم ملاقات قطارها هیچ تأخیر زمانی وجود ندارد. حال در شکل ۱۳ متغیر کنترلی J_V ، تأخیر زمانی در حالت کنترل با روش کاهش زمان سفر و تأخیر زمانی در حالت کنترل ترکیبی نمایش داده شده است:



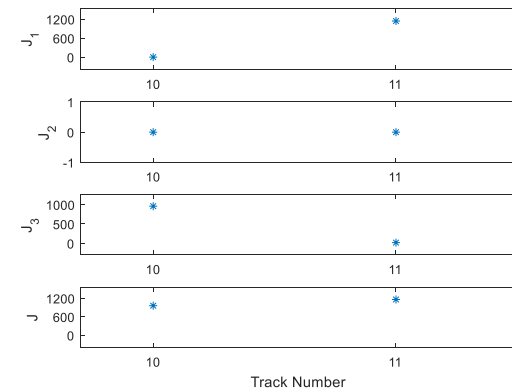
شکل ۱۳: نمایش متغیر کنترلی J_V ، تأخیر زمانی در حالت کنترل با روش کاهش زمان سفر و کنترل ترکیبی

همان‌طور که در شکل ۱۳ مشاهده می‌کنید مقدار $V_{13} = -15.31$ هست که با اعمال آن به محور سوم قطار مسیر اول تأخیر در حالت کنترل با روش کاهش زمان سفر به میزان تقریباً ۵ دقیقه می‌رسد، پس همان‌طور که گفته شد برای قطار مسیر سوم تأخیر زمانی وجود ندارد. حال در شکل ۱۴ هر



شکل ۱۰: نمایش متغیر کنترلی J_V ، تأخیر زمانی در حالت کنترل با روش کاهش زمان سفر و کنترل ترکیبی

همان‌طور که در شکل ۱۰ مشاهده می‌کنید مقدار $V_1 = -3.09$ هست که با اعمال آن تأخیر در حالت کنترل با روش کاهش زمان سفر در محور یازده به میزان تقریباً ۲ دقیقه می‌رسد و تأخیر در حالت کنترل ترکیبی با کنترل به روش کاهش زمان سفر برابر است. حال در شکل ۱۱ هر سه بخش تابع هزینه نهایی برای حالت کنترل ترکیبی که J_1, J_2 و J_3 می‌باشند به همراه تابع هزینه نهایی J برای مسیر دوم نمایش داده شده است. به عنوان مثال بیشترین مقدار J_3 مربوط به محور ۱۰ هست که دارای مقدار $V_{10} = 958$ هست (همان‌طور که در شکل ۱۰ مشاهده نمودید سیگنال کنترلی J_3 در محور ۱۰ دارای بیشترین مقدار است). انحراف از زمان اعزام نیز دارای هزینه هست که به عوامل مختلفی (تعداد مسافران، نارضایتی آنها...) بستگی دارد و همان‌طور که مشاهده می‌کنید بیشترین مقدار J_1 به محور ۱۱ تعلق دارد که دارای مقدار $V_{11} = 1142$ هست (همان‌طور که در شکل ۱۰ مشاهده نمودید بیشترین مقدار تأخیر در حالت کنترل ترکیبی مربوط به محور ۱۱ هست). درنهایت با مجموع این سه بخش و ضرایب وزنی تعیین شده مقدار تابع هزینه نهایی J نیز مطابق رابطه (۸) به صورت شکل ۱۱ نمایش داده می‌شود و همان‌طور که مشاهده می‌کنید بیشترین مقدار J به محور ۱۱ تعلق دارد که دارای مقدار $V_{11} = 1160$ هست.



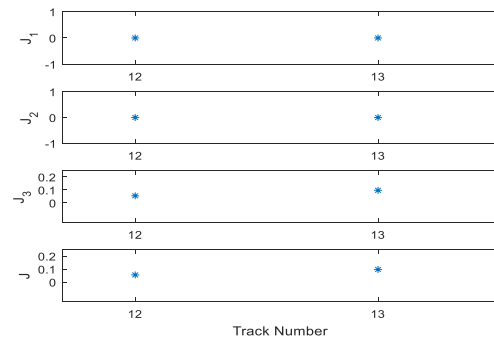
شکل ۱۱: تابع هزینه برای قطار مسیر ساری - گرماسار در حالت کنترل ترکیبی

از آنجاکه سیگنال کنترل ترکیبی مجموع سیگنال $V_{I,j}$ هست و با توجه به اینکه سیگنال کنترلی $J_{I,j}$ فقط در ایستگاه‌های رابط ۳ و ۶ (تهران و گرمسار) مقدار دارد، لذا در مابقی ایستگاه‌ها مقدار سیگنال کنترل ترکیبی تقریباً با مقدار سیگنال کنترلی $V_{I,j}$ برابر است (همان‌طور که در شکل ۱۵ مشاهده می‌کنید تمامی دایره‌ها در تمامی محورها به جزء محور ۳ بر روی مریع‌ها منطبق می‌باشد). با توجه به شکل ۱۵ مقدار انحراف از زمان اعزام برای قطار مسیر ۲ در حالت بدون کنترل و کنترل با روش تغییر در بازه زمانی ملاقات یا عدم ملاقات قطارهای برنامه‌ریزی شده در ایستگاه رابط برابر است و این بدان معنی است که قطار ۶ متظر رسیدن قطار ۱۱ ثابت است که در این حالت مقدار $U_{11,6} = 0$ هست. با توجه به اغتشاشی که به زمان سفر قطار ۱۳ داده شده است، با استفاده از متغیر کنترلی $U_{13,3} = -10.99$ قطار ۳ متظر رسیدن قطار ۱۳ مانده است ولی مسافران زمان کمی برای تعویض قطار خود دارند و ممکن است عده‌ای از آن‌ها نتوانند قطار خود را تعویض کنند، به همین دلیل مقدار انحراف از زمان اعزام قطار ۳ (علامت +) کاهش یافته است و مقدار تأخیر زمانی برای هر چهار استراتژی در مسیر سوم صفر است. لازم به ذکر است از آنجاکه تعداد متغیرهای کنترلی کم است و همچنین تعداد ایستگاه‌ها کم هست و به صورت خط باز حرکت انجام می‌شود تأخیرها به مقدار کمی جبران شده است.

۷- نتیجه‌گیری

در این مقاله یک مدل گستته پیشامد خطی برای انحراف از مدت زمان سفر و مدت زمان توقف قطارها در خطوط راه آهن ایران ارائه گردید. نکته مهم در این مدل سازی نسبت به مدل‌های ارائه شده در تحقیقات پیشین، مقیاس بندی شبکه ریلی و لحاظ نمودن قیود عملیاتی هست. مدل دینامیکی دو متغیر، تغییر در بازه زمانی ملاقات یا عدم ملاقات قطارها در ایستگاه رابط و تغییر زمان سفر را شامل می‌شود و از آن‌ها به منظور جبران تأخیر استفاده می‌کند. به منظور مدل سازی از روش یشینه جمع و از کنترل کننده پیش‌بین مبتنی بر مدل به منظور کنترل استفاده شده است. هدف طراحی این کنترل کننده تنظیم ترافیک از طریق بازیابی تأخیرهای بزرگ و همچنین به موقع حرکت کردن قطارها مطابق با جدول زمان بندی به منظور کسب رضایت مسافران بوده است و در طراحی کنترل کننده، قیود واقعی بر روی سیگنال کنترل در نظر گرفته شده است. جدول زمان بندی استفاده شده در مقاله منطبق با برنامه زمانی فصل پاییز سال ۱۳۹۵ شرکت راه آهن جمهوری اسلامی ایران هست. عملکرد کنترل در چهار حالت بدون کنترل، تغییر در بازه زمانی ملاقات یا عدم ملاقات قطارها در ایستگاه‌های رابط، کاهش زمان سفر قطار بین ایستگاه‌ها و ترکیب روش تغییر در بازه زمانی ملاقات یا عدم ملاقات قطارها در ایستگاه‌های رابط همراه با روش کاهش

سه بخش تابع هزینه نهایی برای حالت کنترل ترکیبی که J_1, J_2 و J_3 می‌باشند به همراه تابع هزینه نهایی J برای مسیر سوم نمایش داده شده است. به عنوان مثال بیشترین مقدار J مربوط به محور ۱۳ هست که دارای مقدار ۰.۹۶۸ هست (همان‌طور که در شکل ۱۳ مشاهده نمودید سیگنال کنترلی $V_{I,j}$ در محور ۱۳ دارای بیشترین مقدار هست). درنهایت با مجموع این سه بخش و ضرایب وزنی تعیین شده مقدار تابع هزینه نهایی J نیز مطابق رابطه (۸) به صورت شکل ۱۴ نمایش داده می‌شود و همان‌طور که مشاهده می‌کنید بیشترین مقدار J به محور ۱۳ تعلق دارد که دارای مقدار ۰.۰۹۶۸ هست.

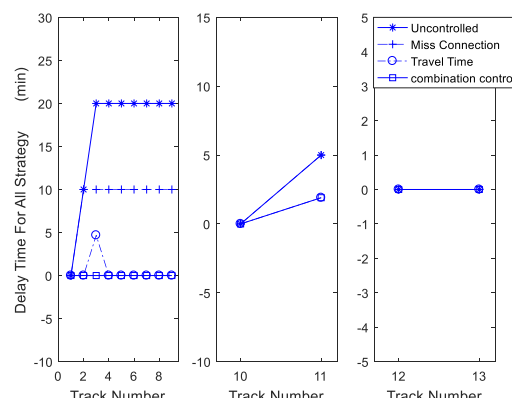


شکل ۱۴: توابع هزینه برای قطار مسیر کاشان - تهران در حالت کنترل ترکیبی مقادیر حداکثر تأخیرها و مجموع آن‌ها برای هر چهار استراتژی و نیز برای هر سه مسیر در جدول ۸ نمایش داده شده است:

جدول ۸: قیود لازم برای سیگنال کنترلی $J_{I,j}$

حالت تأخیرها (نایاب)	مجموع تأخیرها (نایاب)	روش
۴۳۰	۱۲۰	بدون کنترل
۵۱۰	۶۰	کنترل با روش تغییر در بازه زمانی ملاقات با عدم ملاقات قطارهای برنامه‌ریزی شده در ایستگاه رابط
۳۶۵	۲۸۱	کنترل با روش کاهش زمان سفر
۱۱۴	۱۱۴	کنترل ترکیبی

در پایان به منظور مقایسه تأخیرهای زمانی برای هر سه مسیر و نیز هر چهار استراتژی در شکل ۱۵ نمایش داده شده است:



شکل ۱۵: نمایش تأخیرهای زمانی هر چهار استراتژی برای شبکه ریلی مورد نظر

“Connection and speed control in railway systems - a model predictive control approach,” proceedings of the Sixth International Workshop on Discrete Event Systems, pp. 49–54, 2002.

[5] T. van Den Boom and B. De Schutter, “Modeling and control of railway networks,” Proceedings of the American Control Conference, vol. 6, pp. 5728–5733, 2004.

[6] B. de Schutter and T. van den Boom, “Model predictive control for max-plus-linear discrete event systems,” Control Engineering Practice, vol. 14, no. 10, pp. 1199–1211, 2006.

[7] B. De Schutter and T. Van den Boom, “Max-plus algebra and max-plus linear discrete event systems: An introduction,” Proceedings of the 9th International Workshop on Discrete Event Systems, vol. 19, pp. 36–42, 2008.

[8] R. M. P. Goverde, “A delay propagation algorithm for large-scale railway traffic networks,” Transportation Research Part C, vol. 18, no. 3, pp. 269–287, 2010.

[9] R. M. P. Goverde, “Railway timetable stability analysis using max-plus system theory,” Transportation Research Part B, vol. 41, no. 2, pp. 179–201, 2007.

[10] T. J. J. Van Den Boom and B. De Schutter, “Dynamic railway network management using switching max-plus-linear models,” Proceedings of the 11th IFAC sysmposium on Control in Transportation Systems, vol. 11, no. 1, pp. 343–348, 2006.

[۱۱] ب. معاونی - م. کریمی “بازیابی به هنگام جدول زمانبندی یک شبکه مترو با استفاده از کنترل کننده پیش‌بین و در حضور قیود واقعی” مجله حمل و نقل, ۱۳۹۴, ۷, ۱, ۱۴۱-۱۶۶.

[۱۲] ب. معاونی - س. نجفی “مدل‌سازی و تنظیم بلاذرنگ ترافیک خطوط مترو با استفاده از کنترل کننده پیش‌بین غیرخطی” مجله کنترل, ۹, ۲, ۱۴-۲۵, ۱۳۹۴.

[13] T. J. J. Van Den Boom, N. Weiss, W. Leune, R. M. P. Goverde, and B. De Schutter, “A permutation-based algorithm to optimally reschedule trains in a railway traffic network,” preprints of the 18th IFAC world conference, vol. 18, pp. 9537–9542, 2011.

زمان سفر قطار بین ایستگاه‌ها برای جلوگیری از اباشه شدن تأخیرهای بزرگ با در نظر گرفتن تابع هزینه انجام شد. با توجه به این که در خطوط راه‌آهن سراسری بلیت مسافران از قبل خریداری شده است، هنگام به وجود آمدن تأخیر نمی‌توانیم از یک ایستگاه بدون توقف عبور نماییم و باید در تمامی ایستگاه‌ها توقف داشته باشیم. بنابراین در خطوط راه‌آهن سراسری برای بازیابی تأخیر اقداماتی از جمله تغییر در بازه زمانی ملاقات یا عدم ملاقات قطارها در ایستگاه‌های رابط و کاهش زمان سفر قطار با افزایش سرعت حرکت صورت می‌گیرد. باید متنزکر شد که روش مقیاس بندی برای خطوط ریلی واقعی به دلیل امکان حل مسئله کنترل در زمان قابل قبول و کاهش مدت زمان محاسبات سیگنال کنترل، بدون از دست دادن صحت و کلیت مسئله مناسب هست و همچنین نسبت به مقالات پیشین برتری مدل پیشنهادی بر اساس مدل‌سازی سیستم‌های واقعی مشخص شد. در پایان نیز نقش موفق کنترل کننده پیش‌بین در تنظیم ترافیک خطوط راه‌آهن سراسری و همچنین موقعیت سیستم خطی بیشنه جمع در مدل‌سازی نمایش داده شد.

مراجع

- [1] W. S. Lin and J. W. Sheu, “Optimization of train regulation and energy usage of metro lines using an adaptive-optimal-control algorithm,” IEEE Transactions on Automation Science and Engineering, vol. 8, no. 4, pp. 855–864, 2011.
- [2] B. Kersbergen, J. Rudan, T. van den Boom, and B. De Schutter, “Towards railway traffic management using switching Max-plus-linear systems Structure analysis and rescheduling,” Discrete Event Dynamic Systems, 2014.
- [3] V. Van Breusegem, G. Campion, and G. Bastin, “Traffic Modeling and State Feedback Control for Metro Lines,” IEEE Transactions on Automatic Control, vol. 36, no. 7, pp. 770–784, 1991.
- [4] B. De Schutter and T. J. J. van den Boom,